

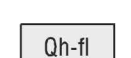
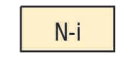
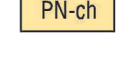

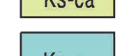




MINISTERIO DE ENERGÍA Y MINAS
INSTITUTO GEOLÓGICO MINERO Y METALÚRGICO
INGEMMET 3531 PRIMERA EDICIÓN 1997
ESCALA: 1 : 100 000



PROYECCIÓN: TRANSVERSA DE MERCATOR
 DATUM HORIZONTAL: SISTEMA GEODÉSICO MUNDIAL DE 1984
 SISTEMA DE CUADRÍCULA: UTM CADA 4 KILOMETROS ZONA 18 ESFEROIDE INTERNACIONAL













GEOLOGÍA POR: VICTOR LIPA SALAS
 WASHINGTON LARICO GAYO
 VICTOR CUYUBAMBA PEÑA



LEYENDA				
ERATEMA	SISTEMA	SERIE	UNIDADES LITOSTRATIGRÁFICAS	
CENOZOICA	CUATERNARIO	HOLOCENA	Depósitos fluviales 	
		NEOGENO	PLIOCENA	Formación Ipururo 
			MIOCENA	Formación Chambira 
	PALEOGENO	OLIGOCENA	Formación yahuarango 	
		EOCENA	Formación cachiyacu 	
			PALEOCENA	Formación vivian 
MESOZOICA	CRETACEO	SUPERIOR	Formación chonta 	
		INFERIOR	Grupo oriente 	
			Neoproterozoico	Complejo xingu

HOJAS ADYACENTES		
Tabalosos (2057) 14-b	Río Capanhua (2157) 14-o	Río Yaurana (2257) 14-p
Ana María (2056) 15-b	Río Tapiche (2156) 15-o	
Río Cabela (2055) 16-b	Cerro San Lucas (2155) 16-o	

BASE DE COMPILACIÓN: MAPA PLANIMÉTRICO LANDSAT DMA IAGS EN 1991

- SÍMBOLOS**
-  Rumbo de estratos con buzamiento suave (10°-30°)
 -  Rumbo de estratos con buzamiento moderado (30°-60°)
 -  Eje de sinclinal inferido
 -  Eje de anticlinal inferido
 -  Eje de anticlinal asimétrico
 -  Contacto geológico
 -  Contacto geológico inferido
 -  Falla inversa inferida
 -  Falla sinistral
 -  Falla dextral
 -  Falla inferida
 -  Lineamiento

VITRUMINO DE ELIMIN
 CONVERGENCIA DE CUADRÍCULA
 PARA EL CENTRO DE LA HOJA
 PARA CONVERTIR UN
 AZIMUT MAGNÉTICO
 A UN AZIMUT DE CUADRÍCULA
 RESTESE EL ÁNGULO NC-M
 PARA CONVERTIR UN
 AZIMUT DE CUADRÍCULA
 A UN AZIMUT MAGNÉTICO
 SUMESE EL ÁNGULO NC-M